

## НАБЛЮДЕНИЕ КИНЕТИЧЕСКОГО ДИА- И ПАРАМАГНЕТИЗМА В ВИСМУТЕ

И.Н.Жилев

В висмутовых образцах при гелиевых температурах наблюден кинетический диа- и парамагнетизм, предсказанный Гуревичем в 1970 г. [1].

1. В экспериментах использовались образцы висмута, выращенные способом Чохральского. Отношение сопротивлений  $\rho_{293\text{K}} / \rho_{4,2\text{K}} \approx 430$ . С целью получения правильной геометрической формы образцов в виде бруска с квадратным сечением площадью  $S = 0,9 \times 0,9 \text{ см}^2$  и длиной 7,5 см они обрабатывались на электроискровом станке, а затем обтравливались в  $\text{HNO}_3$  для снятия наклепанного слоя. Продольная ось образцов  $\parallel C_2$ . В торцевой части приклеивались бифилярно изготовлен-

ные во избежании электрической наводки нагреватели. Для создания направленного теплового потока  $Q$  в образце его поверхность теплоизолировалась с помощью папиросной бумаги и тефлоновой пленки способом, описанным в [2]. Неизолированный конец образца имел тепловой контакт с жидким гелием и служил хладопроводом. На образец поверх тефлоновой пленки наматывалось проводом ПЭЛ-0,06 несколько катушек  $K_i$  с числом витков  $n = 200$ . Подключая к ним микровеберметр  $\phi 190$  можно было измерять изменение магнитного потока  $\Delta\Phi$  через них. Земное магнитное поле компенсировалось с точностью не хуже  $0,01 \text{ Э}$ . Образцы ориентировались в продольном магнитном поле  $H_{||}$  с точностью не хуже  $1^\circ$ .

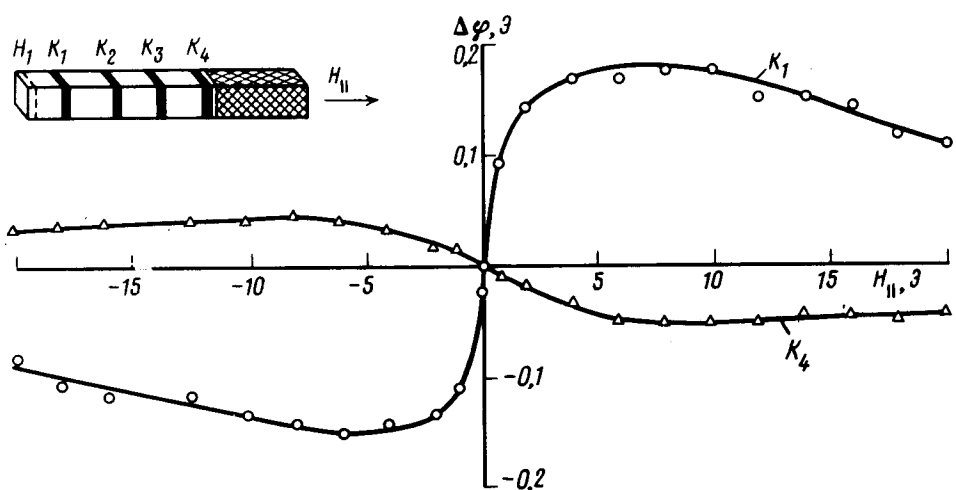


Рис. 1. Зависимость удельного магнитного потока  $\Delta\phi$ , регистрируемого катушками  $K_2$ ,  $K_4$  от продольного магнитного поля  $H_{||}$ . Рисунок образца выполнен с сохранением пропорций

На рис. 1 для одного из образцов приведен экспериментальный график удельного магнитного потока  $\Delta\phi = \Delta\Phi / S n$ , возникающего при включении нагревателя мощностью  $0,9 \text{ Вт}$  и регистрируемого катушками  $K_1$  и  $K_4$ , в зависимости от  $H_{||}$ . Для катушек  $K_2$ ,  $K_3$  зависимости не приведены, так как сигнал был практически равен нулю. Температура гелиевой ванны  $\approx 1,3 \text{ К}$ . При этом использовался нагреватель  $H_1$  намотанный по периметру образца в торцевой его части. Назовем его кольцевым. Из рисунка видно: 1)  $\Delta\Phi$  наблюдается через катушки, находящиеся в местах "втекания" ( $K_1$ ) и "вытекания" ( $K_4$ ) тепла, т.е. там, где  $Q$  имеет радиальную компоненту; в местах же где  $Q$  в основном осевой ( $K_2$ ,  $K_3$ )  $\Delta\Phi$  практически равен нулю. 2) Знак эффекта антисимметричен по  $H_{||}$ . 3) Знаки эффекта для катушек  $K_1$  и  $K_4$  противоположны. При этом  $K_1$  регистрирует парамагнитный эффект, а  $K_4$  — диамагнитный. 4) С

увеличением  $H_{\parallel}$  сигнал растет, достигает максимума и далее падает. На рис.2 приведены аналогичные зависимости для того же образца в тех же условиях для  $K_1$ , но с другими нагревателями плоской конструкции: покрывающим весь торец образца (назовем его плоским), а также с нагревателем, покрывающим часть торца образца (площадью  $0,5 \times 0,5 \text{ см}^2$ ) и расположенным в центре торца (назовем его точечным). Мощности в нагревателях выделялись те же, что и в измерениях с кольцевым нагревателем. Из рис.2 видно. 1) Знак эффекта при использовании точечного нагревателя изменился. При этом все характерные черты зависимости остались прежними. 2) Величина эффекта при использовании плоского нагревателя упала в несколько раз. Для катушек  $K_2$ ,  $K_3$ ,  $K_4$  зависимость при использовании точечного нагревателя осталась практически той же. При повышении температуры гелиевой ванны величина эффекта при фиксированном  $H_{\parallel}$  падала. На другом образце с такими же параметрами были получены качественно подобные результаты.

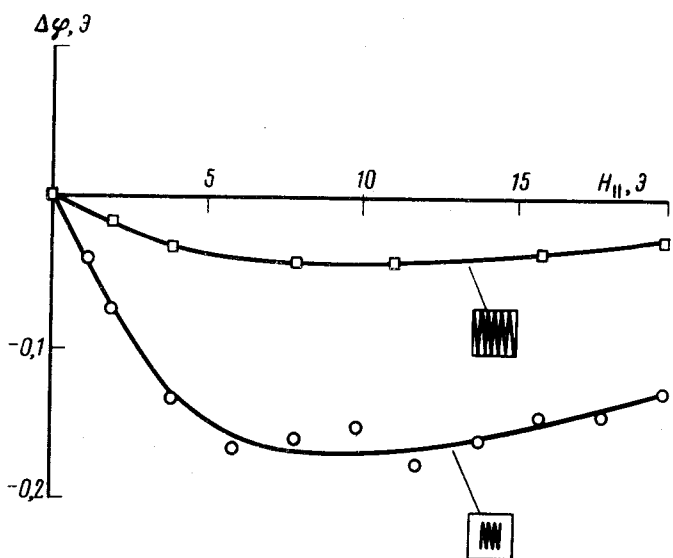


Рис.2 Зависимости  $\Delta\phi(H_{\parallel})$  для катушки  $K_1$  при использовании разных типов нагревателей

Наблюдаемые зависимости естественно связать с кинетическим ди- и парамагнетизмом, предсказанным в [1]. Согласно [1] в проводящем длинном цилиндре, находящемся во внешнем магнитном поле  $H_{\parallel}$ , параллельном оси цилиндра, в котором имеется аксиальносимметричный градиент температуры  $\nabla T$ , возникает азимутальный ток Нернста и Холла. При этом направление тока антисимметрично по отношению к направлению  $H_{\parallel}$ . Направлению теплового потока изнутри наружу при положительном знаке коэффициента Нернста соответствует диамагнит-

ная восприимчивость, обратному направлению — парамагнитная. Из модели следует, что при малых  $H_{\parallel}$  плотность азимутального тока  $i$  линейна по  $H_{\parallel}$ ; при  $H_{\parallel} \approx H_0$ , соответствующем  $\Omega\tau \approx 1$  ( $\Omega$  — циклотронная частота,  $\tau$  — время релаксации)  $i$  достигает максимума и далее с увеличением  $H_{\parallel}$  падает. Анизотропия висмута, его многодолинность не должны, по нашему мнению, качественно изменить зависимость  $i(H_{\parallel})$ . Основной вклад в эффект в образцах нашей ориентации должны дать два электронных эллипсоида, продольные оси которых развернуты относительно  $H_{\parallel}$  на  $30^\circ$ . Оценка  $H_0$  для них дает  $H_0 \approx 6$  Э, что близко к положению максимума на экспериментальной зависимости  $\Delta\phi(H_{\parallel})$ . Оценим согласно модели  $\Delta\phi$ , который должен возникнуть в наших образцах при пропускании теплового потока, конкретно в поперечном сечении, проходящем через плоскость катушки  $K_1$  при малых  $H_{\parallel}$  в данных экспериментальных условиях. При малых  $H_{\parallel}$  магнитное поле экспоненциально изменяется при удалении в глубь образца от поверхности:  $\sim \exp r/\delta$ , где  $r$  — расстояние от поверхности,  $\delta = c/4\pi Q_L \sigma \Delta T$ ,  $Q_L$  — коэффициент Нернста — Эттингсгаузена,  $c$  — скорость света,  $\sigma$  — проводимость. При  $r \ll \delta$  для образца цилиндрического сечения диаметра  $d$ :  $\Delta\phi \approx \frac{d}{6\delta} H_{\parallel}$ . В [3] и [4] измерены соответственно  $Q_L$  и  $\kappa$  для образцов с близкими к нашим образцам параметрами. Приняв  $Q_L \approx \approx 3 \cdot 10^{-6}$  В/Э° град,  $\kappa \approx 3,3$  Вт/см° град,  $d = 0,9$  см и учитя, что поперечный  $\nabla T$  в сечении образца, проходящем через плоскость  $K_1$  примерно в пять раз меньше  $\nabla T$  вдоль образца, получим  $\Delta\phi \approx 0,20 H_{\parallel}$ . Из экспериментального графика (рис. 1) для  $K_1$  имеем при малых  $H_{\parallel}$ :  $\Delta\phi \approx 0,15 H_{\parallel}$ .

Качественное совпадение наблюдаемых зависимостей и предсказываемых моделью диа- и парамагнетизма, а также согласие по порядку величины численных оценок на основе модели наблюдаемым величинам свидетельствуют о том, что наблюдаемое явление — кинетический диа- и парамагнетизм.

Институт физики твердого тела  
Академии наук СССР

Поступила в редакцию  
27 января 1981 г.

### Литература

- [1] Л.Э.Гуревич. Письма в ЖЭТФ, 11, 269, 1970.
- [2] В.Н.Копылов. ЖЭТФ, 78, 198, 1980.
- [3] И.Я.Коренблит, М.Е.Кузнецов, С.С.Шалыт. ЖЭТФ, 56, 8, 1969.
- [4] В.Н.Копылов, Л.П.Межов-Деглин. ФТТ, 15, 13, 1973.